



## CARACTERIZAÇÃO DE CATALISADORES Pd-Cu SUPORTADOS. EFEITO DA ADIÇÃO DE COBRE E DO USO DO ÓXIDO DE NIÓBIO COMO SUPORTE.

Cramer V. Gomes<sup>1\*</sup>, David dos S. Cunha<sup>2</sup>, Gilberto M. da Cruz<sup>3</sup>, Marivone N. S. C. Roma<sup>3</sup>

<sup>1</sup> Departamento de Engenharia de Materiais, Faculdade de Engenharia Química de Lorena (Funarq), Pelo/Unival, Rodovia SP-330, Km 4,5, Cachoeira Paulista, São Paulo, Brazil, e-mail: [cramer@unival.br](mailto:cramer@unival.br)  
<sup>2</sup> Laboratório de Catalise, Instituto de Pesquisas Energéticas e Nucleares, Rio Claro, São Paulo, Brazil, Rodovia Presidente Dutra, Km 45, Cachoeira Paulista, 12530-000, São Paulo, SP, Brazil  
<sup>3</sup> Departamento de Engenharia química, Faculdade de Engenharia Química de Lorena (Funarq), Pelo/Unival, Rodovia SP-330, Cachoeira Paulista, 12530-000, São Paulo, Brazil, e-mail: [marivone@unival.br](mailto:marivone@unival.br)

**Palavras Chave / Key words:** catalisadores, paládio-cobre, nióbia, interação.

### Resumen

Catalisadores bimetaálicos Pd-Cu, com teor de paládio fixo de 3%, em massa, e razões atómicas entre 10/1 e 1/1,7, e monometálicos de Pd, com teores variáveis entre 0,5 e 5,0%, em massa, foram preparados tendo como suporte sílica e nióbia. Os precursores metálicos utilizados foram PdCl<sub>4</sub> e CuCl<sub>2</sub> e método de impregnação foi o incipiente. Os materiais, após caracterização, foram avaliados nas reações de desidrogenação do C<sub>6</sub>H<sub>12</sub> e hidrogenação do C<sub>4</sub>H<sub>6</sub>. Os resultados obtidos com a desidrogenação do C<sub>6</sub>H<sub>12</sub>, comprovada como reação insensível à estrutura, indicaram a existência de interação metal-suporte entre o Pd e a Nb<sub>2</sub>O<sub>5</sub>, já que o uso deste suporte acarreta um aumento na FR<sub>0</sub>, de aproximadamente 80%, e um decréscimo na E<sub>a</sub> desta reação, de 26%, quando comparados aos resultados obtidos com os catalisadores Pd/SiO<sub>2</sub>. Já os resultados obtidos com os catalisadores bimetaálicos mostraram que a adição de cobre causa a diluição do paládio na superfície das partículas metálicas, diminuindo a atividade destes sistemas bimetaálicos. A inexistência de caráter eletrônico entre Pd e Cu pode ser confirmado pelos resultados de freqüência de rotação e energia de ativação, que permanecem as mesmas tanto com Pd/SiO<sub>2</sub> como com Pd-Cu/SiO<sub>2</sub>. Estas conclusões foram confirmadas na reação de hidrogenação do C<sub>4</sub>H<sub>6</sub>, reação sensível à estrutura do paládio, onde a presença do Cu favoreceu a hidrogenação parcial.

### Abstract

Bimetallic catalysts Pd-Cu, with fixed content of 3% Pd (w/w), and atomic ratios between 10/1 and 1/1,7, and monometallic of Pd with weight contents between 0,5 e 5,0%, were prepared having as support silica and niobia. The metal precursors used were PdCl<sub>4</sub> and CuCl<sub>2</sub> and method of impregnation was incipient wetness. The materials, after characterization, were tested with C<sub>6</sub>H<sub>12</sub> dehydrogenation and C<sub>4</sub>H<sub>6</sub> hydrogenation reactions. The results in the C<sub>6</sub>H<sub>12</sub> dehydrogenation, confirmed as insensitive to the Pd structure, showed the existence of metal-support interaction between Pd and Nb<sub>2</sub>O<sub>5</sub>, already that the use these support carried the increased of FR<sub>0</sub>, approximately 80%, and an decreased the E<sub>a</sub> of this reaction, of 26%, when compared at the results obtained with the Pd/SiO<sub>2</sub>. Already the results obtained with the Pd-Cu catalysts showed that the addition of Cu carried the dilution of Pd in the surface the metal particles, decreasing the activity of these bimetallic systems. The absence of electronic character between Pd and Cu can to be confirmed for results of FR<sub>0</sub> and E<sub>a</sub>, which remain the same conditions so much Pd/SiO<sub>2</sub> as with Pd-Cu/SiO<sub>2</sub>. This conclusions were confirmed in the C<sub>4</sub>H<sub>6</sub> hydrogenation reactions, sensitive to the Pd structure, where the presence of the Cu favored the partial hydrogenation.

## INTRODUÇÃO

Nas catalisadoras de fase de paládio tem sido tradicionalmente empregados em uma gama de reações de interesse industrial tais como hidrogenação, oxidação, reforma etc. [1-3]. Estes estudos têm sido realizados com o objetivo de estudar os efeitos das diferentes formas de sinterização da estrutura cristalina dos catalisadores e a sua influência na atividade catalítica. A estrutura cristalina é determinada por métodos de difração de raios-X e microscopia eletrônica de transmissão.

Os estudos de estrutura cristalina de catalisadores de paládio mostraram que a estrutura cristalina é determinada por métodos de difração de raios-X e microscopia eletrônica de transmissão.

Além disso, estudos de estrutura cristalina mostraram que existe uma maneira de otimizar o desempenho catalítico destes sistemas catalíticos setando a adição de um segundo metal nos catalisadores, o que provoca maior comportamento catalítico distinto daquele dos metais isolados em diversas reações industriais de interesse. Assim, o papel deste segundo metal poderia ser tanto o de um agente dispersante da fase ativa do catalisador como também o de um agente ativo na reação desejada. Muitos são os trabalhos que têm abordado a influência do cobre na atividade catalítica dos sistemas bimetálicos Pd-Cu, sendo atribuído ao Cu a diminuição da capacidade adsorptiva do paládio. Tais efeitos são explicados como sendo devido a existência de interação metal-metal por um efeito eletrônico entre Pd e Cu ou por um efeito de recobrimento do Pd pelo Cu ou, até, por ambos efeitos agindo conjuntamente [8-12].

Os objetivos deste trabalho são de aprofundar os estudos da existência de interação metal-suporte nos catalisadores Pd SiO<sub>x</sub> e Pd Nb<sub>2</sub>O<sub>5</sub> e da existência de interação metal-metal nos sistemas Pd-Cu SiO<sub>x</sub>, mas com altas razões atômicas Pd/Cu, em presença de uma reação sensível e de uma reação intensível à estrutura.

## EXPERIMENTAL

*Preparação dos catalisadores:* Catalisadores monometálicos de paládio e bimetais de paládio-cobre foram preparados tendo como suporte o óxido de silício, ou sílica, Aerosil 200 da Degussa, cuja área superficial específica é de 200 m<sup>2</sup>/g e o óxido de nióbio, ou niobia, preparado a partir da calcinação do ácido nióbico HY-340 da CBMM em ar sintético a 873K por 3 horas, após o que a área superficial específica foi de 20 m<sup>2</sup>/g. Os catalisadores Pd SiO<sub>x</sub> e Pd Nb<sub>2</sub>O<sub>5</sub>, com teores metálicos entre 0,5 e 5,0%, em massa, e o catalisador 3,0%Cu SiO<sub>x</sub> foram preparados por impregnação incipiente. Os catalisadores bimetais Pd-Cu-SiO<sub>x</sub> foram preparados por coimpregnação incipiente com teores de Pd iguais a 3,0%, em massa, e razões atômicas Pd/Cu entre 1,1,7 e 10,1. Os sais precursores utilizados foram PdCl<sub>4</sub> (Aldrich, 99% p.a.) e CuCl<sub>2</sub>.2H<sub>2</sub>O (Merck, 99% p.a.). A metodologia de preparação foi aquela descrita por Gomes et al. [15].

*Caracterização dos Catalisadores:* A quantidade de cloro residual foi determinada pela técnica de condutivimetría, realizada durante os tratamentos térmicos realizados na etapa de preparação dos catalisadores. Para esta técnica foi utilizado um condutivímetro de marca Micromat, modelo B330. Para a quantificação dos teores de paládio, análises por espectrometria de absorção atómica (EAA) foram realizadas em um espectrómetro de modelo Analyst 800 da Perkin Elmer. A quantidade de H<sub>2</sub> quiniassorvida por unidade de massa de catalisador foi determinada pela técnica de volumetria de hidrogênio, realizada a 70°C e a pressões menores que 80 torr, a fim de evitarse o fenômeno de formação de hidreto de paládio ( $\beta$ -PdH<sub>x</sub>). Para esta técnica foi utilizado um aparelho volumétrico estático convencional pertencente ao Laboratório Associado de Combustão e Propulsão (LCP) do Instituto Nacional de Pesquisas Espaciais - INPE. A distribuição dos tamanhos dos cristalitos metálicos e o seu tamanho médio foram determinados por microscopia eletrônica de transmissão (MET). A metodologia de preparação das amostras para esta análise foi realizada conforme protocolo já descrito por Roma et al. [7]. Esta técnica foi realizada em um espectrômetro eletrônico de transmissão de marca Philips, modelo CM200, de 160kV com filamento de tungstênio, pertencente ao Instituto de Física da Universidade de São Paulo - USP.

**Reacção de desidrogenação.** A reacção de desidrogenação do cetoexano foi conduzida em fase gasosa, a temperatura de 573K, nessa última sendo feita num microreactor dinâmico diferencial. A mistura de gás que se utilizou para a reacção é composta por 80% de gás H<sub>2</sub> e 20% de ar, as condições de trabalho utilizadas para a reacção são: tempo de contacto de 10 segundos, taxa de conversão de 10% H<sub>2</sub> em ate 10% de CO<sub>2</sub>, taxa de fluxo de 100 cm<sup>3</sup> min<sup>-1</sup>, temperatura de 573K, pressão de 1000 mbar. A reacção de desidrogenação do cetoexano é exotérmica, com entalpia de reacção de -128 kJ mol<sup>-1</sup>, quando realizada em fase líquida, a velocidade da reacção é muito baixa, o que impede a sua utilização industrial. No entanto, quando realizada em fase gasosa, a velocidade da reacção aumenta consideravelmente, devido ao aumento da taxa de transferência de calor entre o reactivo e o catalisador.

## RESULTADOS E DISCUSSÃO

Os resultados por descoloração mostraram a inexistência de cloro residual nos catalisadores, qualquer que tenha sido o suporte utilizado. Análises por espectrometria de absorção atômica mostraram um desvio em torno de 10% entre os teores metálicos reais e nominais dos catalisadores, independente do suporte.

Os resultados obtidos por quimissorção de H<sub>2</sub> são apresentados na Tabela I, sendo eles a quantidade de H<sub>2</sub> quimissorvido por unidade de massa de catalisador ( $\Sigma_{\text{ads}}$ ), o número específico de átomos expostos de Pd (Y), a fração exposta de Pd em dispersão (D) e o diâmetro médio das partículas metálicas (d<sub>p</sub>). Constatase que o catalisador de Cu suportado não apresentou qualquer capacidade de quimissorção de H<sub>2</sub>, o que é concordante com a literatura [8, 13]. Observando os resultados dos catalisadores Pd/SiO<sub>2</sub> e Pd/Nb<sub>2</sub>O<sub>5</sub>, de mesmo teor metálico, pode-se perceber que os d<sub>p</sub> nos catalisadores suportados sobre Nb<sub>2</sub>O<sub>5</sub> são muito maiores do que aqueles suportados sobre SiO<sub>2</sub>, o que pode ser imputado à baixa área específica daquele óxido (apenas 20 m<sup>2</sup> g<sup>-1</sup>).

**Tabela I:** Quimissorção de hidrogénio dos catalisadores suportados em sílica e em niobia.

Catalisador	Razão atómica Pd-Cu	$\eta_{ads}$	$Y, (10^{-18})$	D (%)	$d_p$ (nm)
0,5% Pd/SiO <sub>2</sub>	-	6,34	7,64	30	3
2,0% Pd/SiO <sub>2</sub>	-	16,19	19,50	19	5
3,0% Pd/SiO <sub>2</sub>	-	18,00	21,68	14	7
5,0% Pd/SiO <sub>2</sub>	-	26,73	32,2	12	8
0,5% Pd/Nb <sub>2</sub> O <sub>5</sub>	-	6,28	7,56	25	4
3,0% Pd/Nb <sub>2</sub> O <sub>5</sub>	-	6,79	8,18	5	20
5,0% Pd/Nb <sub>2</sub> O <sub>5</sub>	-	7,34	8,84	3	32
3,0% Cu/SiO <sub>2</sub>	-	0	0	0	-
3,0% Pd-0,18% Cu/SiO <sub>2</sub>	10,1	7,48	9,01	6	-
3,0% Pd-0,22% Cu/SiO <sub>2</sub>	8,4	7,62	9,18	6	-
3,0% Pd-0,45% Cu/SiO <sub>2</sub>	4,1	7,70	9,97	5	-
3,0% Pd-5,0% Cu/SiO <sub>2</sub>	1,17	0	0	0	-

$D$  = fração exposta de Pd ou dispersão metálica, d = diâmetro médio das microcélulas metálicas.

Os resultados referentes aos catalisadores Pd-Cu mostram que a quantidade de H<sub>2</sub>-quimissorrido diminui à medida que a razão atômica Pd/Cu se reduz, sendo que a hipótese de que o Pd e o Cu estejam segregados nos catalisadores pode ser eliminada já que o catalisador 3%Pd-3%Cu SiO<sub>2</sub>

que apresentam grande amplitude de tamanhos. Segundo Leon & Vannice [8] e Noronha & Schmid [9], este resultado é devido à menor densidade bimetálica no catalisador.

Na Tabela II, os resultados obtidos para as partículas de Pd obtida por MEL. Foi constatado que o Pd obtido sobre SiO<sub>2</sub> tem tamanhos partículas maiores (82 nm) em média com dispersão de 10 nm, quando suportado sobre a silica sintética apresenta tamanhos de 21 nm, das quais 10% delas com diâmetro de até 6 nm. As partículas de Pd obtidas sobre Nb<sub>2</sub>O<sub>5</sub> mostraram-se mais dispersas (85 nm) quando suportadas sobre a silica sintética. No entanto, apresentam menor dispersão metálica quando comparadas aos catalisadores suportados sobre a silica sintética, também, que o catalisador suportado sobre Nb<sub>2</sub>O<sub>5</sub> apresenta uma maior distribuição do tamanho dos cristalitos, quando comparado aos suportados sobre SiO<sub>2</sub>, que pode também ser imputado a baixa área da Nb<sub>2</sub>O<sub>5</sub>. Os catalisadores bimetaisicos apresentam uma grande heterogeneidade de dimensão de partículas sendo observado, por exemplo, no catalisador 3%Pd-3%Cu/SiO<sub>2</sub> partículas ate o diâmetro de 85 nm coexistindo com 57% de partículas com diâmetros de ate 6 nm. Pode-se imputar o aumento e maior heterogeneidade dos tamanhos de partícula nos catalisadores bimetaisicos a presença de cobre.

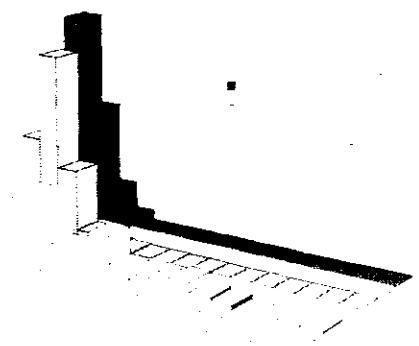
Os resultados da reação de desidrogenação do C<sub>6</sub>H<sub>12</sub>, a 573K, são apresentados na Tabela II. Os parâmetros analisados foram a velocidade específica inicial (V<sub>0</sub>) e a freqüência de rotação inicial (FR<sub>0</sub>), calculada pela relação V<sub>0</sub>/Y.

**Tabela II:** Desempenho dos catalisadores na reação de desidrogenação do cicloexano, a 573K.

Catalisador	Razão atómica Pd/Cu	V <sub>0</sub> × 10 <sup>-18</sup> (moléc. C <sub>6</sub> H <sub>12</sub> s.g <sub>cat</sub> )	FR <sub>0</sub> (s <sup>-1</sup> )
0,5%Pd/SiO <sub>2</sub>	-	5,85	0,77
2,0%Pd/SiO <sub>2</sub>	-	14,49	0,74
3,0%Pd/SiO <sub>2</sub>	-	17,58	0,81
5,0%Pd/SiO <sub>2</sub>	-	26,44	0,82
0,5%Pd/Nb <sub>2</sub> O <sub>5</sub>	-	10,62	1,40
3,0%Pd/Nb <sub>2</sub> O <sub>5</sub>	-	11,40	1,39
3,0%Cu/SiO <sub>2</sub>	-	0	-
3,0%Pd-0,18%Cu/SiO <sub>2</sub>	10,1	0,81	1,09
3,0%Pd-0,22%Cu/SiO <sub>2</sub>	8,1	8,48	0,92
3,0%Pd-0,45%Cu/SiO <sub>2</sub>	4,4	6,37	0,91
3,0%Pd-3,0%Cu/SiO <sub>2</sub>	11,7	0	-

V<sub>0</sub> = velocidade específica inicial; FR<sub>0</sub> = freqüência de rotação inicial.

Os catalisadores Pd/SiO<sub>2</sub> apresentaram valores de FR<sub>0</sub> com um valor médio de 0,78 s<sup>-1</sup>, o que permite constatar ser a reação de desidrogenação do C<sub>6</sub>H<sub>12</sub> efetivamente insensível à estrutura. Os catalisadores Pd/Nb<sub>2</sub>O<sub>5</sub> apresentam valores de FR<sub>0</sub> com um valor médio de 1,39 s<sup>-1</sup>. Comparando os resultados da Tabela II pode-se verificar que existe um aumento do valor médio das freqüências de rotação em torno de 80% quando da mudança dos suportes utilizados nos catalisadores, de silica para nióbia; esta variação da FR<sub>0</sub> é um indicativo da existência de interação metal-suporte quando do emprego da Nb<sub>2</sub>O<sub>5</sub>. O fato da distribuição do d<sub>p</sub> nos catalisadores suportados sobre



**Figura 1:** Distribuição do tamanho das partículas metálicas nos catalisadores.

$\text{Nb}_2\text{O}_5$  ser bastante heterogênea poderia justificar a existência de interação metal-suporte nos catalisadores Pd-Nb<sub>2</sub>O<sub>5</sub>, mesmo com valores de diâmetros médios das partículas altos. Experimentos realizados a 543K e 573K, para cálculo das energias de ativação ( $E_a$ ) na reação de hidrogenação do  $\text{C}_4\text{H}_1$ , sobre catalisadores Pd-SiO<sub>2</sub> e Pd-Nb<sub>2</sub>O<sub>5</sub>, foram realizados, sendo obtidos valores de 84 kJ/mol e de 89 kJ/mol, respectivamente, o que confirma a discussão anterior.

Os resultados da reação de hidrogenação do  $\text{C}_4\text{H}_1$ , realizada a 278K, são apresentados na Tabela III. Os parâmetros analisados foram a velocidade específica inicial em termos de  $\text{C}_4\text{H}_1$  convertido ( $V_0$ ), a frequência de rotação inicial (FR<sub>0</sub>) e recalculada pela relação  $V_0/Y_0$ , as seletividades para a hidrogenação parcial e produção de 1-buteno e a razão trans-2-buteno/cis-2-buteno.

A constatação de que a velocidade específica e o número de sítios de Pd diminuem com o aumento do teor de Cu, mantendo-se a FR<sub>0</sub> invariável, é um indicio da formação de partículas bimétálicas com enriquecimento superficial de Cu quando dos tratamentos térmicos, ou seja, com a diluição dos átomos de Pd superficiais pelo Cu. Tal hipótese é corroborada pelo comportamento do catalisador 3%Pd-3%Cu/SiO<sub>2</sub>, cujas ausências de sítios de adsorção e de atividade catalítica podem ser justificadas pelo predominio maciço do Cu na composição superficial, o que está de acordo com Renouprez et al. [9].

Os resultados da reação de hidrogenação do  $\text{C}_4\text{H}_1$ , realizada a 278K, são apresentados na Tabela III. Os parâmetros analisados foram a velocidade específica inicial em termos de  $\text{C}_4\text{H}_1$  convertido ( $V_0$ ), a frequência de rotação inicial (FR<sub>0</sub>) e recalculada pela relação  $V_0/Y_0$ , as seletividades para a hidrogenação parcial e produção de 1-buteno e a razão trans-2-buteno/cis-2-buteno.

**Tabela III:** Desempenho dos catalisadores na reação de hidrogenação do 1,3-butadieno, a 278K.

Catalisador	Razão atómica Pd/Cu	$V_0 \cdot (10^{-18})$ (moléc. $\text{C}_4\text{H}_1$ s.g <sub>cat</sub> )	FR <sub>0</sub> (s <sup>-1</sup> )	S <sub>dp</sub> (%)	S <sub>1-but</sub> (%)	t c
0,5%Pd/SiO <sub>2</sub>	-	0,20	0,03	100	50	1,56
2,0%Pd/SiO <sub>2</sub>	-	7,35	0,38	100	63	6,88
3,0%Pd/SiO <sub>2</sub>	-	28,10	1,30	84	39	3,14
5,0%Pd/SiO <sub>2</sub>	-	61,86	1,92	79	22	2,25
3,0%Pd/Nb <sub>2</sub> O <sub>5</sub>	-	3,79	0,46	88	41	4,04
3,0%Pd-0,18%Cu/SiO <sub>2</sub>	10/1	10,08	1,12	100	64	7,13
3,0%Pd-0,22%Cu/SiO <sub>2</sub>	8/1	7,01	0,76	100	65	6,38
3,0%Pd-0,45%Cu/SiO <sub>2</sub>	4/1	2,54	0,36	100	66	6,82
3,0%Pd-3,0%Cu/SiO <sub>2</sub>	1/1,7	0	-	0	0	-

V<sub>0</sub> = velocidade específica inicial; FR<sub>0</sub> = frequência de rotação inicial; S<sub>dp</sub> = seletividade para a hidrogenação parcial; S<sub>1-but</sub> = seletividade de produção de 1-buteno; t c = razão trans-2-buteno/cis-2-buteno.

Assim como na reação de desidrogenação do  $\text{C}_6\text{H}_{12}$ , o catalisador 3%Cu/SiO<sub>2</sub> não apresentou qualquer atividade na reação de hidrogenação do  $\text{C}_4\text{H}_1$ . Os resultados de FR<sub>0</sub> dos catalisadores Pd-SiO<sub>2</sub> indicam ser esta reação sensível à estrutura da atividade na reação de hidrogenação do  $\text{C}_4\text{H}_1$ , é influenciada pela dispersão da fase metálica do catalisadores Pd-SiO<sub>2</sub>, ao contrário do que ocorre na reação de desidrogenação do  $\text{C}_6\text{H}_{12}$ . Este resultado está de acordo com a maioria dos trabalhos na literatura [11, 14]. Outro fato constatado é que, no caso dos catalisadores bimétálicos, à medida que a razão atómica Pd/Cu diminui, o valor de FR<sub>0</sub> também decrece, fato esse que pode ser atribuído novamente ao efeito diluente das partículas superficiais de Pd pelo Cu, já que este

Na figura 2 é mostrado o efeito da temperatura na atividade das partículas bimetalicas quando do tratamento térmico. As partículas de 8% materiais 3%Pd-3%Cu apresentaram atividade nula. A atividade das partículas de 10% Pd-Cu decresce também foi observada por Pereira et al (1992) para as partículas de catalisadores Pd-Cu-Nb<sub>2</sub>O<sub>5</sub> reduzidos a 873K. Os resultados obtidos mostram que os efeitos sobre as catalisadoras são quantitativos, supostamente devido ao efeito de redução estando sete percentos de Pd no lado raro de 8% Pd-Cu. As partículas com a maior densidade de ativos permanecem a mesma atividade quando se aumenta a temperatura de 873K para 1073K. No entanto, a atividade das partículas de 10% Pd-Cu diminui quando a temperatura é aumentada de 873K para 1073K. O resultado obtido indica que a atividade das partículas de 10% Pd-Cu é menor que a das partículas de 8% Pd-Cu. O resultado obtido indica que a atividade das partículas de 10% Pd-Cu é menor que a das partículas de 8% Pd-Cu.

## CONCLUSÕES

A variação dos valores de freqüência de rotação obtidos com os catalisadores Pd SiO<sub>3</sub> e Pd Nb<sub>2</sub>O<sub>5</sub>, tanto na reação de desidrogenação do cicloexano quanto na reação de hidrogenação do 1,3-butadieno, sugere a existência de interação metal-suporte, entre o paládio e o óxido de nióbio. Constatou-se que em sistemas Pd-Cu SiO<sub>3</sub> ocorre a formação de partículas bimétálicas com enriquecimento superficial de Cu e que o efeito da adição deste sobre as propriedades adsorptivas e catalíticas do Pd é devido ao diluição e/ou recobrimento do paládio pelo cobre. Além disso, o emprego de razões atómicas Pd/Cu baixas, tal como 1/1,7, mostra-se inadequado, já que ocorre um recobrimento maciço do metal ativo pelo metal inativo cobre, o que leva à inexistência de adsorção irreversível de hidrogênio e à uma desativação completa destes materiais bimétálicos.

## AGRADECIMENTOS

A FAPESP pelo apoio financeiro concedido para a execução deste trabalho - Ao Dr. Pedro Kiyohara e ao Engº Simône Perche de Toledo (FEUSP), pelas análises por MEF - Ao Dr. Hélio José Izquierdo Filho (Dequi Eauqual), pelas análises por espectrometria de absorção atômica.

## REFERÉNCIAS

- [1] Brayner, R.; Viau, G.; Cruz, G.M.; Fiévet-Vincent, F.; Fiévet, F.; Bozon-Verduraz, L.; Cat Today, 57, p. 187, 2000.

[2] Reyes, P.; Figueiroa, A.; Pecchi, G.; Pierro, J.L.G.; Cat. Today, 62, p. 209, 2000.

[3] Intarajang, K.; Richardson, J. T.; Appl. Catal. B, 22, p. 27, 1999.

[4] Ross, J.R.H.; Smits, R.H.H.; Seshan, K.; Cat. Today, 16, p. 503, 1993.

[5] Burch, R.; Ramli, A.; Appl. Catal. B, 15, p. 49, 1998.

[6] Maia, A. S.; Schinal, M.; Frety, R.; XI Simp. Iberoam. Cat., 99, Guanajuato, México, 1988.

[7] Roma, M.N.S.C.; Cunha, D.S.; Cruz, G.M.; Cobos, A.J.G.; Braz. J. Chem. Eng., 17, p. 937, 2000.

[8] Leon Y Leon, C.A.; Vannice, M.A.; Appl. Catal. A, 69, p. 291, p. 305, 1991.

[9] Renouprez, A.; Lebas, K.; Bergeret, G.; J. of Molecular Catalysis A, 120, p. 217, 1997.

[10] Lianos, L.; Debauge, Y.; Massardier, J.; Jugnet, Y.; Bertolini, J.C.; Cat. Letters, 44, p. 211, 1997.

[11] Noronha, E.B.; Schinal, M.; Appl. Catalysis, 78, p. 125, 1991.

[12] Pereira, M.M.; Noronha, E.B.; Schinal, M.; Cat. Today, 16, p. 407, 1993.

[13] Figueiredo, J.J.; Ribeiro, F.R.; Catalise Heterogênea, Ed. Fund. Calouste Gulbenkian, 1<sup>ª</sup> ed, 1989.

[14] Tardy, B.; Noupa, C.; Leclercq, C.; Bertolini, F.C.; Hoareau, A.; Treilleux, M.; Faure, J.P.; Ntimoul, G.; J. Catalysis, 129, p. 1, 1991.

[15] Gomes, C.V.; Silva, J.M.; Izquierdo, H.J.; Cruz, G.M.; Roma, M.N.S.C.; In Anais do 11º Congresso Brasileiro de Catalise e 1º Congresso de Catalise do Mercosul, v. 1, p.491; Bento Gonçalves Brasil, 2001.